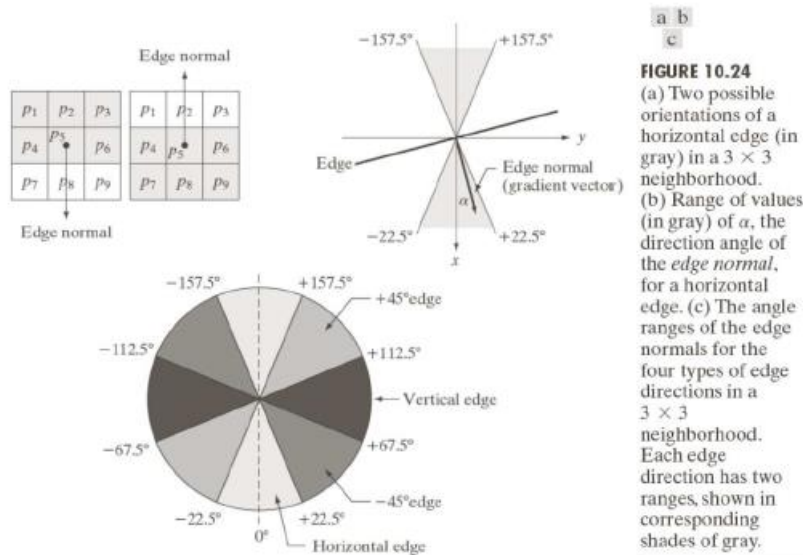


数字图像处理第六次实验报告

一、霍夫变换：直线检测

a) Canny 边缘检测器

1. 高斯滤波器平滑图像 $G(x, y) = e^{-\frac{x^2+y^2}{2\sigma^2}}$
2. 计算梯度图像和角度图像



3. 对梯度幅值图像应用非最大抑制

令 d_1, d_2, d_3 和 d_4 表示刚才讨论的 3×3 区域的四个基本边缘方向。对于 $\alpha(x, y)$ 中以每点 (x, y) 为中心的 3×3 区域，有如下非最大抑制方案：

- ✓ 寻找最接近 $\alpha(x, y)$ 的方向 d_k
- ✓ 若 $M(x, y)$ 的值至少小于沿 d_k 的两个邻居之一，则令 $g_N(x, y) = 0$ （抑制）；否则，令 $g_N(x, y) = M(x, y)$ ，这里 $g_N(x, y)$ 为非最大抑制后的图像。

4. 双阈值处理来检测并连接边缘

- 对 $g_N(x, y)$ 进行阈值处理，以便减少伪边缘点
- 坎尼算法使用两个阈值：一个低阈值 T_L 和一个高阈值 T_H 。坎尼建议，高阈值和低阈值的比率应为 2:1 或 3:1
- 将阈值操作想象为创建两幅附加的图像
$$g_{NH}(x, y) = g_N(x, y) \geq T_H \quad g_{NL}(x, y) = g_N(x, y) \geq T_L$$
- 通过令 $g_{NL}(x, y) = g_{NL}(x, y) - g_{NH}(x, y)$ ，我们从 $g_{NL}(x, y)$ 中删除所有来自 $g_{NH}(x, y)$ 的非零像素。 $g_{NH}(x, y)$ 和 $g_{NL}(x, y)$ 中的非零像素可分别视为“强”和“弱”边缘像素
- 阈值处理后， $g_{NH}(x, y)$ 中的所有像素均被假设为有效的边缘像素，并被立即标记。取决于 T_H 的值， $g_{NH}(x, y)$ 中的边缘通常会存在缝隙

- 较长的边缘用下列步骤形成：
- (a) 在 $g_{NH}(x, y)$ 中定位下一个未被访问的边缘像素p
- (b) 在 $g_{NL}(x, y)$ 中将所有弱像素标记为有效边缘像素，用8连通的连接方法连接到p
- (c) 若 $g_{NH}(x, y)$ 中的所有非零像素已被访问，则调到步骤(d)，否则返回步骤(a)
- (d) 将 $g_{NL}(x, y)$ 中未标记为有效边缘像素的所有像素置零
- 最后，将来自 $g_{NL}(x, y)$ 的所有非零像素附加到 $g_{NH}(x, y)$ ，用坎尼算子形成最终的输出图像

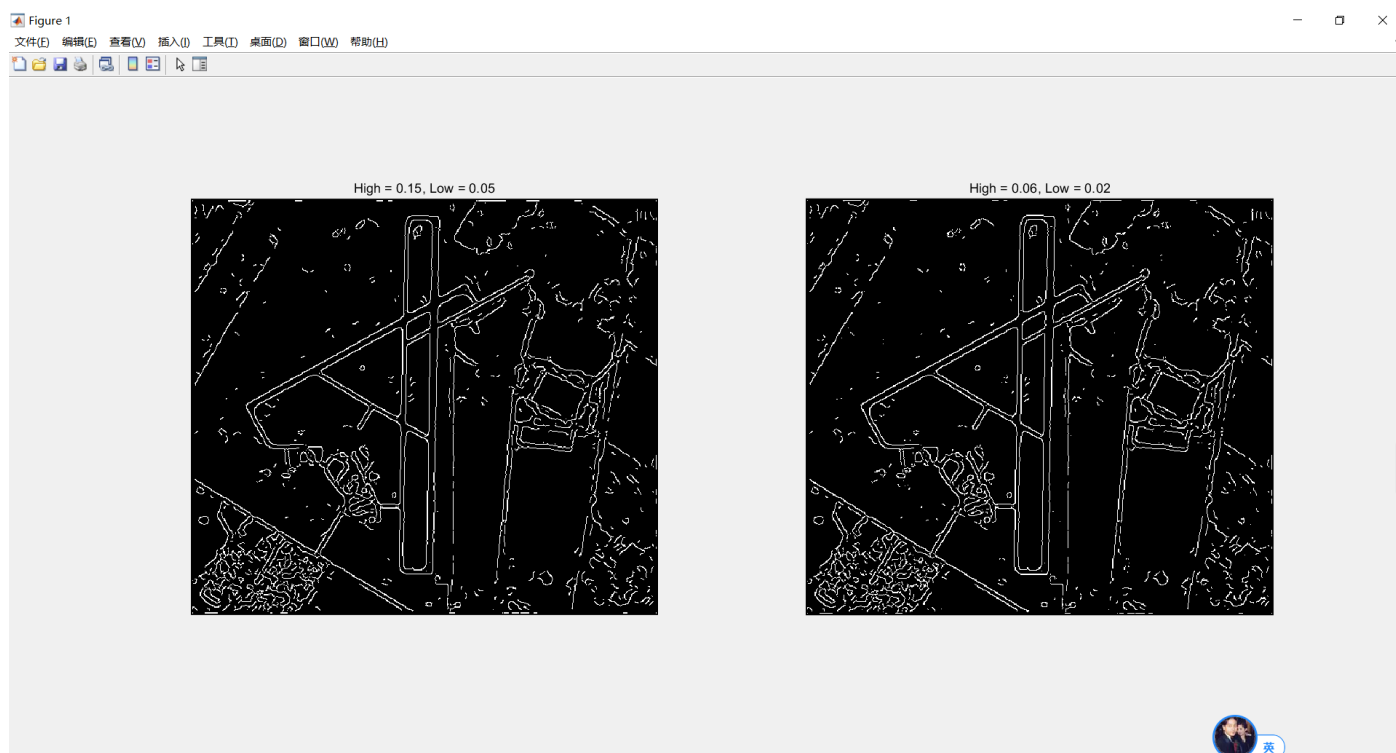
这样，我们可以达到：

1. 低错误率
2. 边缘点被很好的定位
3. 单一的边缘响应

的边缘分割效果

Canny 算法改进性能所付出的代价是，更复杂，同时执行时间更长。

效果如下图：



b) 霍夫变换

霍夫变换将图像的 xy 平面映射到参数空间，每个点对应一个 ρ 、 θ 参数空间的一点，将 canny 边缘检测后的二值图像传入后，将每个边缘点映射到参数空间进行累加，在对应角度的 θ 轴上，可以获得许多点都经过的边缘。

□ 使用霍夫变换的全局处理

- 霍夫变换计算上的魅力在于可将 $\rho\theta$ 参数空间划分为所谓的累加单元，坐标 (i, j) 处的单元具有累加值 $A(i, j)$ ，它对应于与参数空间坐标 (ρ_i, θ_i) 相关联的正方形。
- 最初，这些单元置为零。然后，对于 xy 平面中的每个非背景点 (x_k, y_k) ，令 θ 等于 θ 轴上每个允许的细分值，同时使用方程 $\rho = x_k \cos \theta + y_k \sin \theta$ 解出对于的 ρ 。对得到的 ρ 值进行四舍五入得到沿 ρ 轴最接近的允许单元值。
- 若选择的一个 θ_p 值得到解 ρ_q ，则令 $A(p, q) = A(p, q) + 1$ 。在这一过程结束后， $A(i, j)$ 中的值 P 将意味着 xy 平面中有 P 个点位于直线 $x \cos \theta_j + y \sin \theta_j = \rho_i$ 上。 $P\theta$ 平面中的细分数目决定了这些点的共线精度。
- 可以证明，刚刚讨论的这种方法的计算次数与 xy 平面中非背景点的数量 n 呈线性关系

处理结果如下：



分析：可见霍夫变换的检测精度是非常高的，在 $90^\circ \pm 1^\circ$ 时，可以检测到垂直

方向上的 3 条马路，其中一条还是非常细的。在 90°时，仅能检测到一条。

二、 阈值分割：

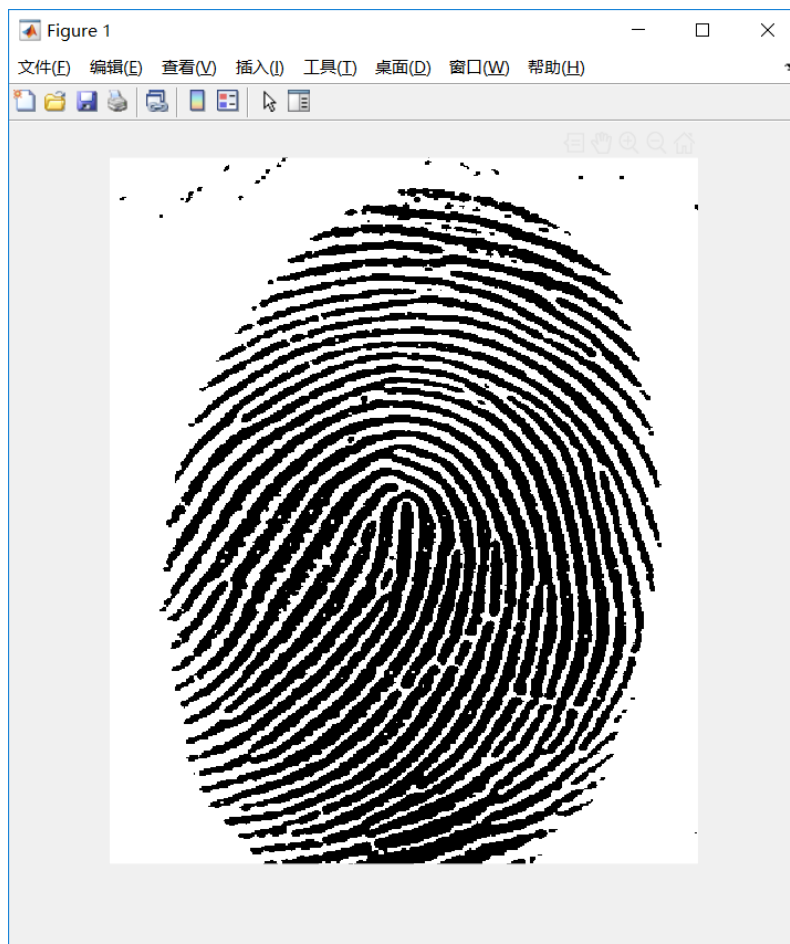
i. 基本的全局阈值分割处理：

当物体和背景像素的灰度分布十分明显时，可以用适用于整个图像的单个（全局）阈值。

1. 为全局阈值 T 选择一个初始值（通常是图像灰度平均值）
2. 用单个阈值 T 分割图像。产生两组像素 $G1$, $G2$
3. 对于 $G1$ 和 $G2$ 的像素分别计算平均灰度值 $m1$, $m2$
4. 计算新的阈值 $T = (m1 + m2) / 2$
5. 重复 2~4 直到连续迭代的 T 的差小于预定值。

参数 ΔT 用于控制迭代次数。其越大，算法执行的次数越少。

结果：



ii. Otsu 阈值分割处理

□ Otsu算法小节如下：

- 计算输入图像的归一化直方图。使用 $p_i, i = 0, 1, 2, \dots, L - 1$ 表示该直方图的各个分量
- 用 $P_1(k) = \sum_{i=0}^k p_i$, 对于 $k = 0, 1, 2, \dots, L - 1$, 计算累积和 $P_1(k)$
- 用 $m(k) = \sum_{i=0}^k ip_i$, 对于 $k = 0, 1, 2, \dots, L - 1$, 计算累积均值 $m(k)$
- 用 $m_G = \sum_{i=0}^{L-1} ip_i$ 计算全局灰度均值 m_G
- 用 $\sigma_B^2(k) = \frac{[m_G P_1(k) - m(k)]^2}{P_1(k)[1 - P_1(k)]}$, 对于 $k = 0, 1, 2, \dots, L - 1$, 计算类间方差 $\sigma_B^2(k)$
- 得到Otsu阈值 k^* , 即使得 $\sigma_B^2(k)$ 最大的 k 值。如果最大值不唯一, 用相应检测到的各个最大值的 k 的平均得到 k^*
- 在 $k = k^*$ 处计算 $\eta(k) = \frac{\sigma_B^2(k)}{\sigma_G^2}$, 得到可分性测度 η^*

该方法在类间方差最大的情况下是最佳的：完全以在一幅图像的直方图上执行计算为基础。

结果：

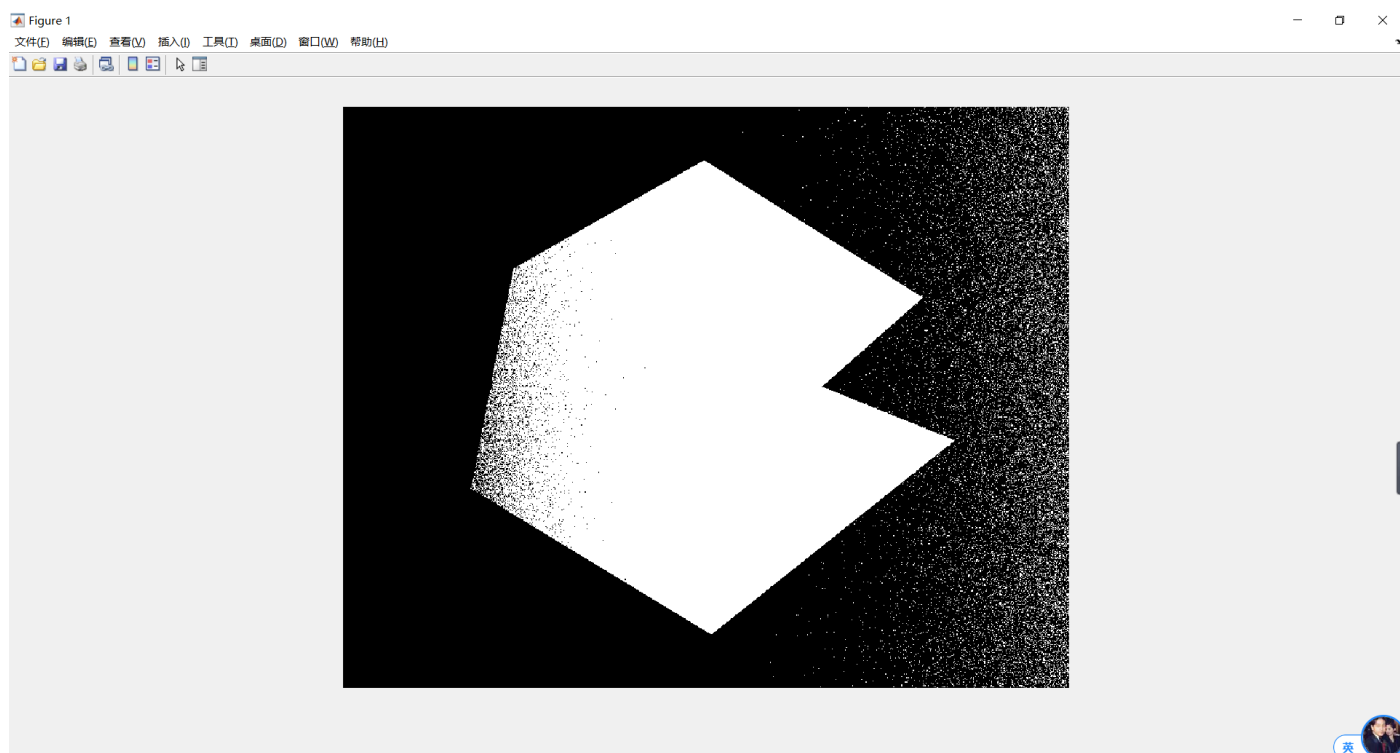


iii. 分块可变阈值分割

可以将一幅图像分为不重叠的矩形，然后分块进行阈值分割。该方法用于补偿光照和反射的不均匀性。选择的矩形要足够小，以便每个矩形的光照都是近似均匀的。

分析：

若使用 Otsu 分割对原图像直接进行分割，会导致图像分割效果不好，这是由于光照的不均匀性导致不同划分的物体具有相同的像素，因此我们可以尝试分块处理以降低不均匀性。



分块处理结果：

